

تحلیل عددی رفتار ارتعاشی ورقهای با لبه های غیر خطی تحت شرایط مختلف مرزی

کسری کرباسچی^۱، حسن حسن زاده^۲
k.karbaschi@gmail.com

چکیده

کاربرد گسترده سازه‌های با ساختار صفحه‌ای نظیر ورقهای نوین اهمیت ویژه‌ای به خود اختصاص داده است. در این راستا طیف وسیعی از صنایع مانند خودروسازی، هواپیما، نفت و ... از صنایع مرتبط با ورق و فرآیندهای ورقکاری می‌باشند. در این میان بررسی ارتعاشات ورقهای از اهمیت بسیار بالایی برخوردار است، زیرا در تحلیلهای دینامیکی و ارتعاشی اگر فرکانسهای طبیعی سازه در نظر گرفته نشوند، امکان رخ دادن پدیده تشید در آن وجود دارد که این امر صدمات جبران ناپذیری برای سازه مورد نظر در برخواهد داشت. از سوی دیگر با توجه به گسترش و تنوع کاربرد ورقهای، شاهد بکارگیری هندسه‌های مختلفی نظیر ورقهای با لبه‌های غیر خطی می‌باشیم که آگاهی از رفتار ارتعاشی این نوع سازه‌ها در کاربردهای حساس، در صدر اهمیت قرار دارد. در این مقاله ارتعاش ورقهای با لبه‌های غیر خطی تحت شرایط مختلف مرزی به روش تفاضل محدود مورد بررسی قرار گرفته است. برای این منظور در ابتدا روش‌های حل تحلیلی کلاسیک برای ورقهای با لبه خطی بررسی شده و روابط متناظر آنها در حل عددی استخراج و مورد تحلیل قرار گرفته است. با بسط روابط موجود ورقهای با لبه غیر خطی نظیر ورقهای بیضی شکل، فرکانسهای طبیعی این نوع از ورقهای خاص بصورت بی‌بعد به دست آمده و نتایج فوق با نتایج شبیه سازی انجام شده به کمک نرم افزار ANSYS مورد مقایسه قرار گرفته‌اند. با توجه به عدم وجود حل تحلیلی و کلاسیک برای این نوع از ورقهای نزدیکی نتایج تحلیل عددی و شبیه سازی کامپیوتری، صحت اعتبار روش مورد استفاده را مورد تایید قرار می‌دهد.

کلید واژه:

فرکانس طبیعی - ارتعاش آزاد - مواد ارتوتروپیک - مواد ایزوتروپیک - ورق - تفاضل محدود - تحلیل مودال

با توجه به موجود نبودن حل تحلیلی و کلاسیک برای بررسی رفتار ارتعاشی ورقهای با هندسه غیر خطی، نزدیکی نتایج تحلیل عددی و شبیه سازی کامپیوتری نشان می دهد می توان از این روش با تقریب خوب در مسائل مهندسی استفاده نمود.

۲- رفتار عمومی ورقها

ورق سازه‌ای مسطح است که ضخامت آن در مقایسه با سایر ابعاد بسیار کوچک می باشد. این ویژگی باعث خمیده شدن آسان ورق تحت تاثیر نیروهای جانبی شده و از این رو می توان با بکارگیری معادلات الاستیستیته دو بعدی به بررسی رفتار تنش و کرنش در ورقها (تحت اثر بارهای خارجی اعمالی به ورق) پرداخت. در نظریه کلاسیک تئوری ورقها^۱ فرضیات سه‌گانه کرشوف (Kirshhoff) به صورت زیر مطرح می باشند [۳] :

* خمیدگی سطح میانی در مقایسه با ضخامت صفحه، کوچک بوده و لذا شیب سطح خم شده بسیار کوچک می باشد.

* سطح میانی در اثر خمش بدون تغییر شکل باقی می ماند.

* مقاطعی از صفحه که در امتداد عمود بر سطح میانی بوده اند نیز پس از خمش بصورت عمود بر سطح میانی باقی خواهند ماند یعنی کرنشهای برشی عمودی γ_{xz} و γ_{yz} قابل صرف نظر می باشند.

۳- معادله حرکت ورق ایزوتروپیک

با مساوی بودن E, α (ضرایب انبساط حرارتی و سختی) در جهات اصلی، کوچک بودن تغییر مکانهای نسی و قابلیت صرف نظر کردن از ترمehای غیر خطی، معادله کلی حرکت ورق ایزوتروپیک با احتساب اثر تکیه گاه الاستیک (k ، بار خارجی اعمالی به ورق (q) و اثر بار حرارتی (T) بصورت زیر بدست می آید [۲] :

$$D \left(\frac{\partial^4 w_0}{\partial x^4} + 2 \frac{\partial^4 w_0}{\partial x^2 \partial y^2} + \frac{\partial^4 w_0}{\partial y^4} \right) + k w_0 = q - \frac{1}{1-\nu} \left(\frac{\partial^2 M_T}{\partial x^2} + \frac{\partial^2 M_T}{\partial y^2} \right) - I_0 \ddot{w}_0 + I_2 \left(\frac{\partial^2 \ddot{w}_0}{\partial x^2} + \frac{\partial^2 \ddot{w}_0}{\partial y^2} \right) \quad (1)$$

در رابطه فوق داریم :

$$D = \frac{E h^3}{12(1-\nu^2)} \quad (2)$$

$$M_T = E \alpha \int \frac{2}{h} \Delta T z dz \quad (3)$$

در رابطه (۱)، عبارت I_2 اینرسی چرخشی ورق می باشد که با توجه به تاثیر آن در فرکانشهای بالا، معمولاً در فرکانشهای پایین از آن صرف نظر می شود. با استفاده از اپراتور لاپلاس، رابطه (۱) را می توان بصورت زیر بازنویسی نمود :

۱- مقدمه

استفاده وسیع ورقها در صنعت و به ویژه کاربردهای خاص آنها نظیر طراحی و ساخت انواع مختلف مخازن تحت فشار، ریشه در تلاشهای بسیار انجام شده توسط محققان و دانشمندان مختلف در شناخت رفتار این گونه از سازه های مهندسی داشته و در این میان آگاهی از رفتار دینامیکی ورقها و بویژه رفتار ارتعاشی آنها، جایگاه ویژه ای به خود اختصاص داده است.

بررسی تلاشهای انجام شده از سوی محققین مختلف برای به دست آوردن فرکانشهای طبیعی ورقها نشان می دهد جملگی آنها بر مبنای بسط معادلات تغییر مکان حاکم بر ورق پایه گذاری شده است [۱۱، ۱۲، ۱۳] و [۱۴، ۱۵] از سوی دیگر با توجه به پیچیدگی معادلات حاکم بر ارتعاش ورقها، روش‌های تحلیلی موجود نظیر روش رایلی - ریتز برای برخی از حالات خاص بررسی شده است [۱۰].

از آنجا که روش‌های حل دقیق نیز در تمامی حالات ممکن قادر به تحلیل نبوده و اغلب فرضیات ساده کننده بسیاری نیز در آنها در نظر گرفته می شوند، در سالهای اخیر با توجه به افزایش قدرت محاسباتی کامپیوترها گرایش خاصی به استفاده از روش‌های عددی در حل معادلات و مسائل مهندسی بوجود آمده است. در این بین استفاده از روش‌های عددی نظیر روش تفاضل محدود یا اجزای محدود در حل مسائل ارتعاشی توجه خاصی به خود معطوف داشته و مقالات مختلفی نیز در این باره ارائه شده است [۹، ۱۰، ۱۱، ۱۲].

در این مقاله به بررسی رفتار ارتعاشی ورقها به وسیله روش‌های عددی پرداخته شده است. روش مورد استفاده، روش تفاضل محدود مرکزی^۱ با مرتبه خطای $O(h^2)$ است. در ابتدا حل دقیق ورق مستطیل شکل با شرایط مرزی مختلف مورد بررسی قرار گرفته و سپس حل عددی آنها تجزیه و تحلیل شده است. معادلات حاصل از تجزیه و تحلیل عددی با برنامه های طراحی شده با MATLAB حل شده و توسط روش پیشنهادی [۲]، فرکانشهای طبیعی ورق به صورت بی بعد بدست آمده اند که اختلاف ناچیز پاسخهای بدست آمده، نشاندهنده دقت بالا و مناسب روش عددی به کار رفته می باشد.

با بسط روابط پایه تحلیل عددی به هندسه غیر خطی، رفتار ارتعاشی این نوع از سازه ها مانند ورق بیضی شکل با استفاده از روش ابداعی در این مقاله مورد بررسی قرار گرفته است [۱۷]. در انتها نیز رفتار ارتعاشی هندسه های خطی و غیر خطی ورق با استفاده از نرم افزار ANSYS مورد تحلیل مودال قرار گرفته و فرکانشهای طبیعی بدست آمده در هر مرحله با نتایج حل تحلیلی و حل عددی مورد مقایسه قرار گرفته است.

$$\beta_n = (n\pi/b)$$

فرکانس طبیعی ورقهای ایزوتروپیک مربع شکل و لبه های خطی، با صرف نظر از ممان چرخشی I_2 (در ورقهای با نسبت ضخامت $h/b < 0.1$) از ممان چرخشی صرف نظر می شود) بصورت زیر

بدست می آید :

$$\omega_{mn} = \frac{\pi^2}{a^2} \sqrt{\frac{D}{\rho h}} (m^2 + n^2) \quad (15)$$

و در نهایت فرکانس طبیعی بی بعد شده $\bar{\omega}_{mn}$ برابر است با [۲] :

$$\bar{\omega}_{mn} = \omega_{mn} \frac{b^2}{\pi^2} \sqrt{\frac{\rho h}{D}} \quad (16)$$

شایان ذکر است روشهای حل تحلیلی مختلف نظری روشهای Rayleigh-Ritz و Levy ، Navier و گستردگی خارجی، جایگذاری رابطه (۶) در رابطه (۱) نتیجه زیر را به همراه خواهد داشت :

$$D\nabla^4 w_0 + kw_0 = q - \frac{1}{1-\nu} \nabla^2 M_T - I_2 \ddot{w}_0 + I_2 \left(\frac{\partial^2 \ddot{w}_0}{\partial x^2} + \frac{\partial^2 \ddot{w}_0}{\partial y^2} \right) \quad (4)$$

در رابطه فوق داریم :

$$I_0 = \rho_0 h \quad , \quad I_2 = \frac{\rho_0 h^3}{12} \quad (5)$$

برای بدست آوردن معادله ارتعاشی حاکم بر ورق فرض می کنیم :

$$w_0(x, y, t) = w(x, y) e^{i\omega t} \quad (6)$$

در رابطه فوق $i = \sqrt{-1}$ و ω فرکانس طبیعی می باشد. در غیاب نیروی گستردگی خارجی، جایگذاری رابطه (۶) در رابطه (۱) نتیجه زیر را به همراه خواهد داشت :

$$D \left(\frac{\partial^4 w}{\partial x^4} + 2 \frac{\partial^4 w}{\partial x^2 \partial y^2} + \frac{\partial^4 w}{\partial y^4} \right) - \omega^2 \left[I_0 w - I_2 \left(\frac{\partial^2 w}{\partial x^2} + \frac{\partial^2 w}{\partial y^2} \right) \right] e^{i\omega t} = 0 \quad (7)$$

از آنجا که این معادله برای تمامی زمانهای t برقرار است، می توان نوشت :

$$D \left(\frac{\partial^4 w}{\partial x^4} + 2 \frac{\partial^4 w}{\partial x^2 \partial y^2} + \frac{\partial^4 w}{\partial y^4} \right) - \omega^2 \left[I_0 w - I_2 \left(\frac{\partial^2 w}{\partial x^2} + \frac{\partial^2 w}{\partial y^2} \right) \right] = 0 \quad (8)$$

پاسخ حالت گذراي معادله (۸) را می توان بصورت زیر در نظر گرفت :

$$w_0(x, y, t) = w(x, y) T(t) \quad (9)$$

در حالتی که هر ۴ لبه ورق بر روی تکيه گاه ساده^۳ قرار داشته و a و b به ترتیب طول و عرض ورق باشند، می توان نوشت [۲] :

$$w(x, y) = W_{mn} \sin \frac{m\pi x}{a} \sin \frac{n\pi y}{b} \quad (10)$$

شرایط مرزی در حالت تکيه گاه ساده بصورت زیر در نظر گرفته می شود :

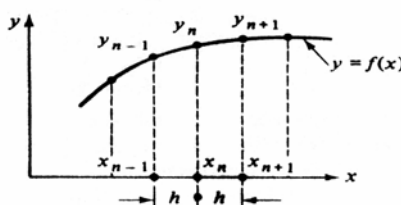
$$w = 0 \quad , \quad \frac{\partial^2 w}{\partial x^2} = \frac{\partial^2 w}{\partial y^2} = 0 \quad (11)$$

در رابطه (۱۰) W_{mn} دامنه ارتعاش بوده و با جایگذاری خواهیم داشت :

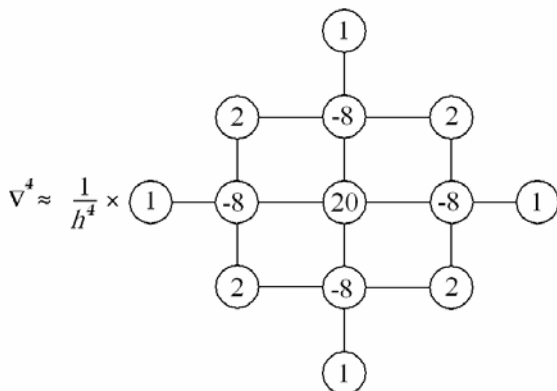
$$D(\alpha_m^4 + 2\alpha_m^2 \beta_n^2 + \beta_n^4) - \omega^2 [I_0 + I_2 (\alpha_m^2 + \beta_n^2)] = 0 \quad (12)$$

رابطه (۱۲) داریم :

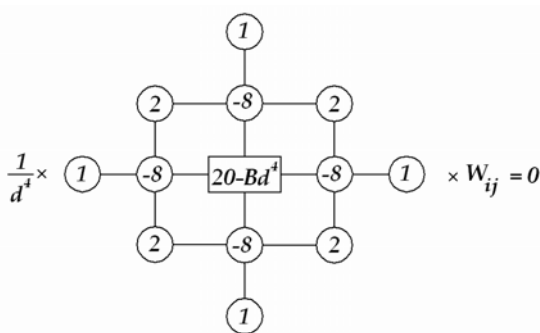
$$\alpha_m = (m\pi/a) \quad (13)$$



شکل (۱) : تقسیم بندی منحنی



شکل(۳) : مولکول محاسباتی تفاضل مرکزی مرتبه ۴



شکل(۴) : معادله تفاضل حاکم بر رفتار ارتعاشی ورق

۵- بررسی شرایط مرزی در فرمولاسیون تفاضل مرکزی

الف) شرایط مرزی باله‌های تکیه گاهی ساده

شکل (۵) را در نظر می‌گیریم. با اعمال معادلات تفاضل برروی معادلات شرایط مرزی، روابط بین گره‌ها بصورت زیر قابل استخراج است :

$$w_1 = w_2 = w_3 = w_4 = w_5 = w_6 = 0 \quad (۲۰)$$

$$\left. \frac{d^2 w}{dx^2} \right|_{1,6} = 0, \quad \left. \frac{d^2 w}{dy^2} \right|_{1,2,3,4,5} = 0 \quad (۲۱)$$

$$w_2 = 0, \quad \left. \frac{d^2 w}{dy^2} \right|_2 = 0 \Rightarrow \frac{1}{d^2} (w_7 - 2w_2 + w_{-2}) = 0 \Rightarrow w_{-2} = -w_7 \quad (۲۲)$$

$$w_6 = 0, \quad \left. \frac{d^2 w}{dx^2} \right|_6 = 0 \Rightarrow \frac{1}{d^2} (w_7 - 2w_6 + w_{-7}) = 0 \Rightarrow w_{-7} = -w_7 \quad (۲۳)$$

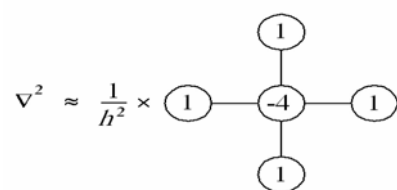
به طریق مشابه خواهیم داشت :

$$w_{-3} = -w_8, \quad w_{-4} = -w_9, \dots \quad (۲۴)$$

در روش CFDM ، معادلات دیفرانسیل حاکم بر رفتار ورق و روابط نشان دهنده شرایط مرزی با یک سری معادلات تفاضل جایگزین می‌شود. بنابراین حل مسئله اصلی بررسی رفتار ارتعاشی ورق و پیدا کردن فرکانس‌های طبیعی آن، به حل همزمان دستگاههای معادلات جبری نوشته شده برای هر گره داخل صفحه، کاهش می‌یابد. با توجه به شکل (۱)، معادلات تفاضل محدود مرکزی را می‌توان از تعریف مشتق تابع بصورت زیر بدست آورد :

$$\delta y_n = \frac{1}{2\Delta x} (y_{n+1} - y_{n-1}) \quad (۱۷)$$

شایان ذکر است مرتبه خطای رابطه فوق از مرتبه $O(h^2)$ می‌باشد. از آنجا که معادله (۷) یک تابع دو متغیره بر حسب x و y است، لذا روابط تفاضل مرکزی با مرتبه خطای یاد شده برای مشتقان مرتبه ۲ الی ۴ بصورت مولکولهای محاسباتی زیر تعریف می‌شوند [۱۴] :



شکل(۲) : مولکول محاسباتی تفاضل مرکزی مرتبه ۲

معادله (۱۲) را برای یک ورق ۴ ضلعی ایزوتروپیک با باله‌های خطی و صرف نظر از ممان اینرسی چرخشی، تکیه گاه الاستیک، بار حرارتی و بار خارجی، می‌توان بصورت زیر بازنویسی نمود :

$$\nabla^4 w - Bw = 0 \quad (۱۸)$$

$$B = \frac{\omega^2 I_0}{D} = \frac{12\rho(1-\nu^2)\omega^2}{Eh^2} \quad (۱۹)$$

در صورتی که مولکول محاسباتی شکل (۳) را برای رابطه (۱۸) استفاده کنیم، معادله حاکم بر رفتار ارتعاشی ورق بصورت معادله تفاضل شکل (۴) بدست می‌آید. شایان ذکر است در این شکل از عبارت d به جای h استفاده شده است.

ج) شرایط مرزی لبه های تکیه گاهی آزاد

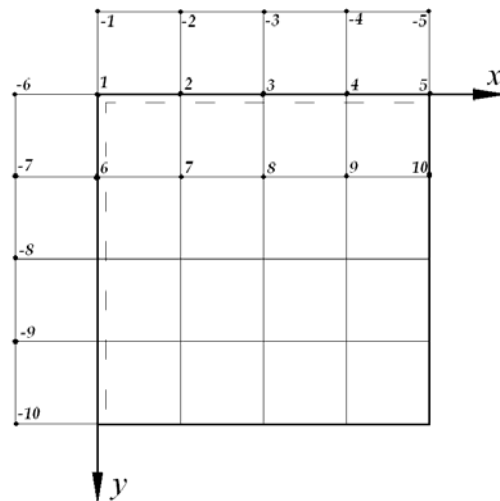
شکل (۷) را در نظر می گیریم. با اعمال معادلات تفاضل بر روی معادلات شرایط مرزی، روابط بین گره ها به صورت زیر قابل استخراج است :

$$\frac{\partial^2 w}{\partial x^2} + \nu \frac{\partial^2 w}{\partial y^2} = 0 \quad (28)$$

$$\frac{\partial^3 w}{\partial x^3} + (2-\nu) \frac{\partial^3 w}{\partial x \partial y^2} = 0 \quad (29)$$

با اعمال معادله (۲۸) بر روی گره شماره ۲ خواهیم داشت :

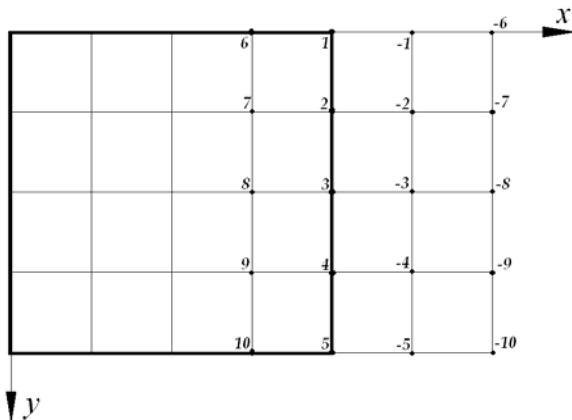
$$\begin{aligned} \frac{1}{d^2} (w_7 - 2w_2 + w_{-2}) + \frac{\nu}{d^2} (w_1 - 2w_2 + w_3) &= 0 \\ \Rightarrow w_{-2} - (2+2\nu)w_2 + \nu w_1 + \nu w_3 + w_7 &= 0 \end{aligned} \quad (30)$$



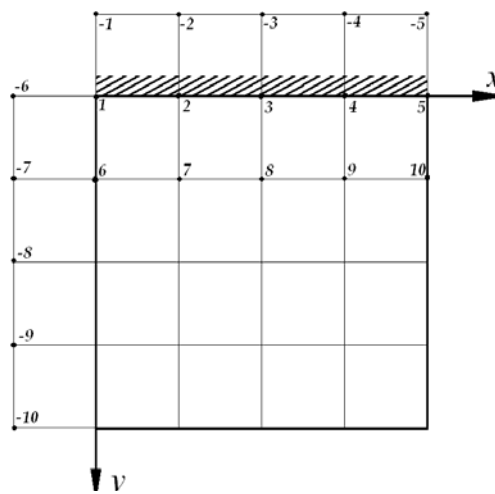
شکل(۵) : لبه تکیه گاهی ساده

ب) شرایط مرزی لبه های تکیه گاهی گیردار

شکل (۶) را در نظر می گیریم. با اعمال معادلات تفاضل بر روی معادلات شرایط مرزی، روابط بین گره ها بصورت زیر قابل استخراج است :



شکل (۷) : لبه تکیه گاهی آزاد



شکل(۶) : لبه تکیه گاهی گیردار

با اعمال معادله (۲۷) بر روی گره شماره ۲ خواهیم داشت :

$$\begin{aligned} \frac{1}{2d^3} (w_{-7} - 2w_{-2} + 2w_7 - w_{12}) + \frac{2-\nu}{2d^3} (w_{-1} - w_6 - 2w_{-2} + 2w_7 + w_{-3} - w_8) &= 0 \\ \Rightarrow w_{12} - w_{-7} + (2-\nu)(w_6 - w_{-1} - w_{-3} + w_8) + (6-2\nu)(w_{-2} - w_7) &= 0 \end{aligned} \quad (31)$$

مشاهده می شود برای لبه آزاد، ۲ معادله شرط مرزی وجود دارد.

$$\left. \frac{dw}{dy} \right|_{1,2,3,4,5} = 0 \quad (25)$$

$$\left. \frac{dw}{dy} \right|_2 = 0 \Rightarrow \frac{1}{2d} (-w_{-2} + w_7) = 0 \Rightarrow w_{-2} = w_7 \quad (26)$$

و به همین ترتیب خواهیم داشت :

$$w_{-1} = w_6 , \quad w_{-3} = w_8 , \dots \quad (27)$$

با جایگذاری شرایط مرزی (۳۳) و (۳۴) در (۳۲)، معادله تفاضل نهایی حاکم بر گره ۱۱ بصورت زیر بدست می آید :

$$(18-L)w_{11} - 8w_{12} + w_{13} - 8w_{20} + 2w_{21} + w_{29} = 0 \quad (۳۵)$$

به طریق مشابه این عمل برای گره های دیگر انجام شده تا دستگاه معادلات مربوطه بدست آید. با طراحی برنامه مناسب با نرم افزار MATLAB و محاسبه L های مختلف، فرکانس ارتعاشات هر مد بدست می آید که این فرکانسها و فرکانس های بی بعد منتظر از روابط زیر حاصل می شوند [۲,۱۷] :

$$\omega_{mn} = \frac{64}{a^2} \left(\sqrt{\frac{D}{I_0}} \right) \left(\sqrt{L_i} \right) \quad (۳۶)$$

$$\bar{\omega}_{mn} = \frac{64}{\pi^2} \left(\sqrt{L} \right) = 6.4845 \sqrt{L_i} \quad (۳۷)$$

برای اطمینان از صحت نتایج بدست آمده، شبیه سازی لازم با نرم افزار ANSYS به شرح مشخصات جدول (۱) برای ورق مستطیل شکل با شرایط مرزی مختلف نظیر چهار طرف تکیه گاه درگیر، دو طرف تکیه گاه ساده و دو طرف تکیه گاه درگیر و سه طرف تکیه گاه ساده و یک طرف تکیه گاه درگیر انجام شده است.

۷- حل عددی معادله ارتعاشی ورقهای با لبه های غیر خطی

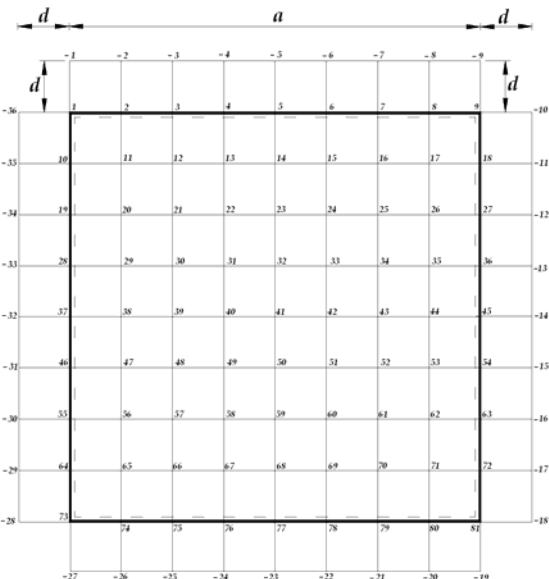
در بخش های قبلی ورقهای با لبه های خطی مورد بررسی قرار گرفتند. در این بخش نیز به بررسی رفتار ارتعاشی ورقهای با لبه های غیر خطی پرداخته می شود. کاملاً مشخص است که از روش های قبلی برای نوشتن معادلات تفاضل نمی توان در این مورد بهره برد، زیرا شبکه های تقسیم بندی چنین هندسه هایی بصورت منظم و پکسان نمی باشند.

جدول (۱) : مشخصات ورق تحت شبیه سازی با ANSYS

جنس	Steel
شرایط مرزی	SSSS-CCCC-SSCC-SSSC
ابعاد	$1 \times 1 m^2$
ضخامت	0.002 m
چگالی	$\rho = 7810 kg/m^3$
مدول الاستیسیته	$E = 207 G Pa$
ضریب پواسون	$\nu = 0.292$
نوع تحلیل	Modal (Reduced)
نوع المان	Shell63
تعداد مود تحلیل شده	5

۶- شبکه بندی ناحیه حل و استخراج معادلات حاکم

برای شروع ورق مربع شکل به ضلع a را که هر چهار طرف آن بر روی تکیه گاه ساده قرار دارد (ورق از نوع SSSS) مطابق شکل (۸) در نظر می گیریم :



شکل (۸) : شبکه بندی ورق مربع شکل به طول a

ورق فوق به ۶۴ قسمت مساوی تقسیم شده، بطوریکه $d = a/8$ می باشد. شایان ذکر است گره های با علامت منفی، گره های مجازی می باشند که برای تبدیل شرایط مرزی به معادلات تفاضل لازم جهت حل دستگاه معادلات جبری نهایی لازم است. در ادامه نحوه تبدیل شرایط مرزی بررسی شده است. با توجه به شرایط مرزی بررسی شده در شکل (۵) معادله تفاضل را برای گره ها نوشت و فرض می کنیم $L = Bd^4$. نمونه ای از معادلات فوق همراه با شرایط مرزی تبدیل شده (مثال) برای گره شماره ۱۱ بصورت زیر است :

$$d = a/8 \quad (۳۲)$$

$$\frac{1}{d^4} [w_{-2} + 2w_1 - 8w_2 + 2w_3 + w_{-35} - 8w_{10} + (20 - L)w_{11} - 8w_{12} + w_{13} + 2w_{19} - 8w_{20} + 2w_{21} + w_{29}] = 0 \quad (۳۳)$$

$$w_1 = w_2 = w_3 = w_{10} = w_{19} = 0 \quad (۳۴)$$

$$w_{-2} = w_{-35} = -w_{11} \quad (۳۵)$$

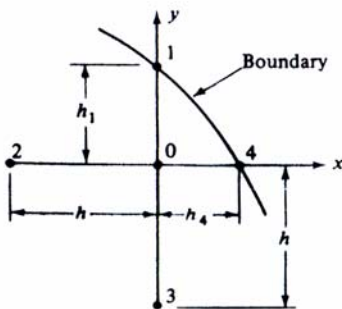
$$\nabla^4 w = \frac{\partial^4 w}{\partial x^4} + 2 \frac{\partial^4 w}{\partial x^2 \partial y^2} + \frac{\partial^4 w}{\partial y^4} = \frac{P}{D} \quad (39)$$

با توجه به دو رابطه قبلی، معادله تقلیل یافته $\nabla^4 w$ را بصورت معادلات کوپله زیر می‌توان نوشت:

$$\nabla^2 M = \frac{\partial^2 M}{\partial x^2} + \frac{\partial^2 M}{\partial y^2} = -P \quad (40)$$

$$\nabla^2 w = \frac{\partial^2 w}{\partial x^2} + \frac{\partial^2 w}{\partial y^2} = \frac{-M}{D} \quad (41)$$

روابط بالا نشان می‌دهند برای حل تغییر مکان ورق ابتدا با توجه به بار اعمالی،تابع ممان M را بدست آورده سپس مقادیر تغییر مکان w از روی آن مشخص می‌شوند. برای این منظور ابتدا با توجه به بار اعمال شده و مولکول محاسباتی ∇^2 معادله (40) را روی گره‌های ورق حل کرده و از حل آنها مقادیر M برای هر گره بدست می‌آوریم، سپس با مشخص بودن مقادیر M برای هر گره معادلات حاکم بر تغییر مکان گره‌ها نوشته شده و با صفر قرار دادن دترمینان حاصل از ضرب این معادلات، فرکانسهای طبیعی مربوطه استخراج شده و از حل دستگاه معادلات حاصل، مقادیر w یا همان شکل‌های مدار تعاضی بدست می‌آیند.



شکل (۹) : مرز منحنی شکل

از سوی دیگر توجه به شکل (۹) نشان می‌دهد به دلیل یکسان نبودن طول بازوهای ۰۱ تا ۰۴، استفاده از اپراتور ∇^2 یک نقطه ۰ مجاز نمی‌باشد.

هنگامیکه حداقل اندازه یکی از بازوها با بقیه مخالف باشد، مولکول محاسباتی مربوطه به صورت ستاره نامنظم خواهد بود. در ناحیه ای که گره ۰ محصور شده رابطه w را بصورت تقریبی زیر در نظر می‌گیریم [۱۷] :

$$w(x, y) = w_0 + a_1 x + a_2 y + a_3 x^2 + a_4 y^2 \quad (42)$$

جدول (۲) : فرکانسهای بی بعد - شرایط SSSS

شماره مود	حل تحلیلی [۲]	تفاضل مرتبه ۲	ANSYS
۱	۲	۱,۹۷۴۴	۱,۹۹۱۱
۲	۵	۴,۷۸۵۷	۴,۹۶۲۶
۳	۵	۴,۷۸۵۷	۴,۹۶۲۶
۴	۸	۷,۵۹۷۱	۷,۸۷۵۹
۵	۱۰	۸,۹۹۳۲	۹,۹۱۶۶

جدول (۳) : فرکانسهای بی بعد - شرایط CCCC

شماره مود	حل تحلیلی [۲]	تفاضل مرتبه ۲	ANSYS
۱	۳۶	۳۳,۶۲۲۶	۳۵,۶۰۶۳
۲	۷۴,۲۹۶	۶۴,۹۵۹۵	۷۲,۳۲۶۳
۳	۷۴,۲۹۶	۶۴,۹۵۹۵	۷۲,۳۲۶۳
۴	۱۰۸,۵۹۲	۹۴,۵۰۵۰	۱۰۵,۳۳۳۵
۵	۱۳۰,۰۱۲۶	۱۰۷,۰۲۲۷	۱۲۹,۵۲۵۸

جدول (۴) : فرکانسهای بی بعد - شرایط SSCC

شماره مود	حل تحلیلی [۲]	تفاضل مرتبه ۲	ANSYS
۱	۲۸,۹۵۱۰	۲۷,۴۶۰۱	۲۸,۷۴۶۱
۲	۵۴,۷۴۳۰	۵۱,۵۴۴۸	۵۴,۲۰۳۳
۳	۶۹,۳۲۷۴	۵۷,۷۳۶۱	۶۸,۵۸۲۰
۴	۹۴,۵۸۵۶	۸۵,۲۹۵۳	۹۲,۸۶۳۳
۵	۱۰۲,۲۱۶۶	۹۱,۳۶۶۶	۱۰۱,۲۳۷۴

جدول (۵) : فرکانسهای بی بعد - شرایط SSSC

شماره مود	حل تحلیلی [۲]	تفاضل مرتبه ۲	ANSYS
۱	۲۳,۶۴۶۴	۲۲,۹۷۴۲	۲۳,۵۲۱۱
۲	۵۱,۶۷۴۲	۴۹,۱۵۶۵	۵۱,۲۶۳۶
۳	۵۸,۶۴۶۹	۵۴,۲۱۹۲	۵۸,۱۴۹۷
۴	۸۶,۱۳۴۵	۷۹,۹۳۴۹	۸۴,۸۲۸۸
۵	۱۰۰,۲۷۶۹	۸۹,۹۶۲۴	۹۹,۳۹۷۶

از سوی دیگر اپراتور ∇^4 نیاز به در نظر گرفتن گره‌های مجازی در خارج از مرازهای ورق دارد که در این نوع هندسه خاص ورق، رفتار گره‌های خارج از مرازها (به دلیل عدم تقارن روی مرازها) مشخص نمی‌باشد. برای حل مشکلات موجود از روابط خمسه - تغییر مکان (معادلات Marcus) برای تعیین تغییر مکانهای نقاط گره ای استفاده می‌شود. لذا داریم [۴] :

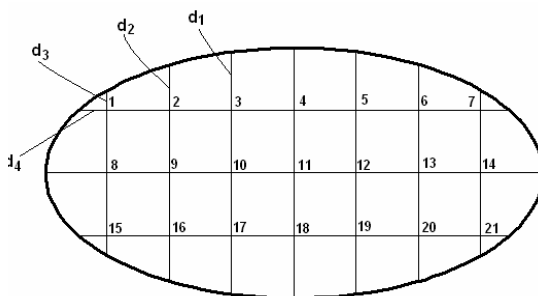
$$M = \frac{M_x + M_y}{1+\nu} = -D \nabla^2 w \quad (38)$$

همچنین معادله حاکم بر تغییر مکان ورق بصورت زیر در نظر گرفته می‌شود [۱] :

$$F = \frac{2}{\alpha_4} \quad (52)$$

۸- حل عددی معادله ارتعاشی ورق بیضی شکل

به عنوان مثالی از ورق با لبه غیر خطی، ورق بیضی شکل در این مرحله مورد بررسی قرار می‌گیرد. شکل (۱۱) نشان دهنده هندسه موردن بررسی و شبکه بندی انجام شده بر روی آن می‌باشد. شایان ذکر است در بیضی موردن بررسی، a و b به ترتیب نصف قطر بزرگ و نصف قطر کوچک بیضی بوده و $a = 2b$ می‌باشد. همچنین لبه‌های ورق بر روی تکیه گاه ساده قرار دارد.



شکل(۱۱) : هندسه ورق همراه با شبکه بندی

با توجه به مطالعه در بالا، جایگذاری در معادله مشخصه بیضی نتیجه می‌دهد :

$$\frac{x^2}{16d^2} + \frac{y^2}{4d^2} = 1 \quad (53)$$

با توجه به شکل (۱۱) و معادلات (۴۳) تا (۴۶)، مقادیر d_i بصورت زیر بدست می‌آیند :

$$\begin{aligned} d_1 &= 0.936d \\ d_2 &= 0.732d \\ d_3 &= 0.322d \\ d_4 &= 0.464d \end{aligned} \quad (54)$$

با فرض $d = 1$ استفاده از مولکول محاسباتی شکل (۱۰)، معادلات تفاضل برای گره‌های ۴ و ۱۱ و ۲۱ به ترتیب بصورت زیر نوشته می‌شوند :

$$M_3 - 4M_4 + M_5 + M_{11} = 0 \quad (55)$$

$$M_4 + M_{10} - 4M_{11} + M_{12} + M_{18} = 0 \quad (56)$$

$$1.512M_{14} + 1.366M_{20} - 10.521M_{21} = 0 \quad (57)$$

با توجه به شکل (۹) ضرایب مجھول بصورت زیر محاسبه می‌گردند :

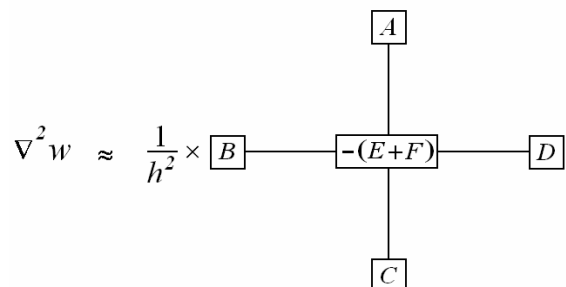
$$a_1 = \frac{h^2(w_4 - w_0) + h_4^2(w_0 - w_2)}{hh_4(h + h_4)} \quad (43)$$

$$a_2 = \frac{h^2(w_1 - w_0) + h_1^2(w_0 - w_3)}{hh_1(h + h_1)} \quad (44)$$

$$a_3 = \frac{h(w_4 - w_0) + h_4(w_0 - w_2)}{hh_4(h + h_4)} \quad (45)$$

$$a_4 = \frac{h(w_1 - w_0) + h_1(w_0 - w_3)}{hh_1(h + h_1)} \quad (46)$$

با اعمال نقطه $x = y = 0$ ، مولکول ستاره نامنظم $\nabla^2 w$ بصورت شکل (۱۰) بدست می‌آید :



شکل(۱۰) : مولکول محاسباتی ستاره نامنظم

در شکل (۱۰) ضرایب مرتبه عبارتند از :

$$A = \frac{2}{\alpha_1(1 + \alpha_1)} \quad (47)$$

$$B = \frac{2}{1 + \alpha_4} \quad (48)$$

$$C = \frac{2}{1 + \alpha_1} \quad (49)$$

$$D = \frac{2}{\alpha_4(1 + \alpha_4)} \quad (50)$$

$$E = \frac{2}{\alpha_1} \quad (51)$$

$$(64) \quad A = \begin{bmatrix} -4 & 2 & 0 & 0 & 2 & 0 & 0 & 0 \\ 1 & -4 & 1 & 0 & 0 & 2 & 0 & 0 \\ 0 & 0 & -4 & 1 & 0 & 0 & 2 & 0 \\ 0 & 0 & 1 & -4 & 0 & 0 & 0 & 2 \\ 1 & 0 & 0 & 0 & -4 & 2 & 0 & 0 \\ 0 & 1.033 & 0 & 0 & 1 & -4.136 & 0 & 0 \\ 0 & 0 & 1.154 & 0 & 0 & 1 & -4.732 & 1 \\ 0 & 0 & 0 & 1.512 & 0 & 0 & 1.366 & -10.521 \end{bmatrix}$$

با حل معادله (۶۳)، روابط حاکم بر فرکانس طبیعی و فرکانسهای طبیعی بی بعد شده ورق بیضی شکل بصورت زیر بدست می آید [۱۷] :

$$(65) \quad \omega_{mn} = \frac{1}{d} \left(\sqrt{\frac{D}{I_0}} \right) \left(\sqrt{L_i} \right)$$

$$(66) \quad \bar{\omega}_{mn} = \omega_{mn} a \sqrt{\frac{I_0}{D}}$$

از آنجا که $a = 4d$ است، معادله بی بعد فرکانس طبیعی ورق بیضی شکل مورد بحث بصورت زیر بدست می آید :

$$(67) \quad \bar{\omega}_{mn} = 4 \sqrt{L_i}$$

در ادامه شبیه سازی به شرح جدول (۶) برای ورق بیضی شکل SSEP انجام شده است [۱۷].

۹- بحث و نتیجه گیری

تا کنون روشهای تحلیلی و عددی مختلفی برای بررسی رفتار ارتعاشی ورقها پیشنهاد شده است که هریک با توجه به فرضیات و ساده سازی های در نظر گرفته شده، به گوشه هایی از پیچیدگی معادلات حاکم بر رفتار دینامیکی و ارتعاشی این سازه خاص پرداخته اند. روش بکار گرفته شده در حل معادلات (۴۰) و (۴۱)، روش ابداعی بوده که دقیق آن در محاسبات مرتبط نشان داده شده است. در خصوص ورقهای مستطیل شکل به دلیل تقارن دو محوری می توان یک هشتمند ورق را در نظر گرفته و پس از اعمال معادلات مربوطه بر روی این ناحیه، نتایج فوق را به کل ورق تعمیم داد. در انجام محاسبات مربوطه برخی از فرکانسهای بدست آمده تکرار شده اند که این امر به علت وجود تقارن هندسی سازه مورد بحث می باشد. این موضوع در شبیه سازی کامپیوتری نیز خود را نشان داده است.

فرم ماتریسی کلی معادلات فوق برای کل گره های شبکه - با اعمال شرایط مرزی - بصورت زیر بدست می آید [۱۷] :

$$(68) \quad \begin{bmatrix} -10.521 & 1.366 & 0 & 0 & \dots & 0 & 0 & 0 & 0 \\ 1 & -4.732 & 1 & 0 & \dots & 0 & 0 & 0 & 0 \\ 0 & 1 & -4.136 & 1 & \dots & 0 & 0 & 0 & 0 \\ 0 & 0 & 1 & -4 & \dots & 0 & 0 & 0 & 0 \\ \vdots & \vdots & \vdots & \vdots & \ddots & \vdots & \vdots & \vdots & \vdots \\ 0 & 0 & 0 & 0 & \dots & -4 & 1 & 0 & 0 \\ 0 & 0 & 0 & 0 & \dots & 1 & -4.136 & 1 & 0 \\ 0 & 0 & 0 & 0 & \dots & 0 & 1 & -4.732 & 1 \\ 0 & 0 & 0 & 0 & \dots & 0 & 0 & 1.366 & -10.521 \end{bmatrix} \times \begin{bmatrix} M_1 \\ M_2 \\ M_3 \\ M_4 \\ \vdots \\ M_{18} \\ M_{19} \\ M_{20} \\ M_{21} \end{bmatrix} = \begin{bmatrix} 0 \\ 0 \\ 0 \\ 0 \\ \vdots \\ 0 \\ 0 \\ 0 \\ 0 \end{bmatrix}$$

حل دستگاه (۴۷) منجر به بدست آمدن مقدار ممان برای هر گره می شود. از آنجا که دستگاه فوق جواب بدینهی دارد، برای حل آن از روش ابتکاری زیر استفاده می شود [۱۷] :

معادلات (۴۰) و (۴۱) هر دو دارای اپراتور یکسان ∇^2 بوده و بروی شبکه ثابت اعمال شده اند، ماتریس ضرایب حاصل از آنها یکسان است. این ماتریس A نامیده شده و روابط زیر قابل استنتاج خواهد بود :

$$(69) \quad [A] \times [M_i] = -d^2 [P]$$

$$(70) \quad ([A] - Bd^2 [I]) \times [w_i] = \frac{-d^2}{D} [M_i]$$

با فرض $L = Bd^2$ و پیش ضرب $[A]$ در رابطه (۵۹) داریم:

$$(71) \quad ([A]^2 - L[A]) \times [w_i] = \frac{d^4}{D} [P]$$

با توجه به صفر بودن P معادله (۶۱) به صورت زیر بدست می آید :

$$(72) \quad ([A]^2 - L[A]) \times [w_i] = 0$$

برای برقراری رابطه فوق به ازای تمام مقادیر w لازم است رابطه زیر برقرار باشد :

$$(73) \quad \det([A]^2 - L[A]) = 0$$

برای شکل (۱۱) و معادله (۶۸)، ماتریس A به صورت زیر بدست می آید:

$$q \quad \text{بار گستردہ اعمالی به ورق}$$

$$\nabla^2 \quad \text{اپراتور لابلس}$$

۱۱- مراجع

- [1] A. C. Ugural, "Stresses in Plate and Shells", 2nd ed, McGraw-Hill, New York, 1999.
- [2] J. N. Reddy, "Theory and Analysis of Elastic Plates", 3rd ed, John Wiley, New York, 1999.
- [3] S. P. Timoshenko and A. Woinowsky, "Theory of Plates and Shells", 2nd ed, McGraw-Hill, New York, 1959.
- [4] H. Marcus, "Die Thorie elastischen gewebe und ihre answendung auf die berechung biegsamer platen", Springer Berlin, 1924.
- [5] Z. Szilard, "Theory and Analysis of Plates – Classical and Numerical Methods", Prentice Hall, 1974.
- [6] T. Y. Yang, "Finite Element Structural Analysis", Prentice Hall, 1986.
- [7] D. L. Logan, "First Course in the Finite Element Method", PWS-Kent, Boston, 1993.
- [8] R. Melosh, "Basis for Derivation of Matrices for the Direct Stiffness Method", Journal AIAA, Vol. 1, pp. 1631 – 1637, July 1963.
- [9] A. Khedir, "Free Vibration and Buckling of Symmetric Cross Ply Laminated Plates by an Exact Method", Journal of Sound and Vibration, Vol. 126, pp. 447 – 461, 1988.
- [10] D. Young, "Vibration of Rectangular Plate by Ritz Method", Journal of Applied Mechanics, Vol. 17, pp. 448 – 453, 1950.
- [11] S. T. Odman, "Studies of Boundary Value Problems, Part II. Characteristic Function of Rectangular Plates", Proc. NR 24, Swedish Cement and Concrete Research Institute, Royal Institute of Technology, Stockholm, Vol. 7, pp. 62, 1955.
- [12] Reduced-Order Nonlinear Equations of Plates, Division of Mechanical Science, Graduate School of Engineering, Hokkaido University, Sapporo, 060-8628, Japan.
- [13] H. Dewey, "Foundations of the Theory of Membrane and Plate Vibration", School of Aerospace Engineering, Georgia Institute of Technology.

جدول (۶) : مشخصات ورق بیضی شکل تحت شبیه سازی با ANSYS

Steel	جنس
SSEP	شرایط مرزی
$a = 4m$, $b = 2 m$	ابعاد
0.00 m	ضخامت
$\rho = 7810 kg/m^3$	چگالی
$E = 207 GPa$	مدول الاستیسیته
$\nu = 0.292$	ضریب پواسون
Modal (Reduced)	نوع تحلیل
Shell63	نوع لمان
5	تعداد مود تحلیل شده

نتایج حاصل از شبیه سازی در جدول (۷) آورده شده است :

جدول (۷) : فرکانس‌های بین‌بعد - شرایط SSEP

شماره مود	حل تحلیلی	تفاضل مرتبه	ANSYS
۱	--	۳,۶۹۶۳	۳,۲۸۶۳
۲	--	۵,۰۱۲۳۶	۵,۸۴۲۸
۳	--	۸,۶۵۴۷	۹,۴۴۶۸
۴	--	۹,۹۶۴۵	۱۴,۰۷۵۸
۵	--	۱۲,۳۶۹۸	۱۴,۱۵۱۰

در خصوص ورقهای بیضی شکل، از آنجا که روش حل این حالت با حالتهای قبلی متفاوت بوده و در آن دو بار از معادلات تفاضل استفاده شده لذا به دلیل خطاهای گرد کردن و برشی^{۱۰}، نتیجه نهایی دقت کمتری دارد که البته می‌توان با افزایش نقاط گره ای یا مرتبه خطای معادلات تفاضل، دقت محاسبات را تا حد قابل قبولی افزایش داد.

شایان ذکر است در خصوص بررسی ورق بیضی شکل با تکیه گاه گیردار، از آنجا که مقدار ممان M روی مرزها صفر نمی‌باشد، لذا لازم است اپراتور لابلس^{۱۱} برروی گره هایی که روی مرزها قرار دارند نیز اعمال گردد که این کار مستلزم تعریف گره های مجازی است و این امر به دلیل هندسه خاص ورق و نبود یک قاعده کلی، مبنی بر اطمینان از قرارگیری گره های لازم در مکانهای مورد نظر، امکان پذیر نبوده و این حالت برای شرایط تکیه گاهی آزاد نیز صادق است.

۱۰- فهرست علائم

- D سختی خمشی ورق
- E مدول الاستیسیته
- h ضخامت ورق
- k سختی الاستیک تکیه گاه

- [۱۶] جمشیدی، نیما و خدارحمی، بصیر، آموزش ارتعاشات و دینامیک ماشین به کمک نرم افزار ANSYS، چاپ اول، انتشارات سیمین دخت، ۱۳۸۴.
- [۱۷] حسن زاده، حسن، تحلیل عددی ارتعاش ورقهای با لبه های غیر خطی تحت شرایط مختلف مرزی، پایان نامه کارشناسی مهندس مکانیک، دانشکده فنی و مهندسی، دانشگاه آزاد اسلامی واحد تهران مرکزی، زمستان ۱۳۸۵.
- [۱۴] نیکخواه بهرامی، منصور، تئوری ارتعاشات و کاربرد آن در مهندسی، چاپ پنجم، انتشارات دانشگاه تهران، ۱۳۸۱.
- [۱۵] فکور یکتا، علی، خودآموز نرم افزار MATLAB، چاپ سوم، انتشارات جهاد دانشگاهی مشهد، ۱۳۸۰.